

11 février 2021 - Séminaire CALISTO

## Corolles d'impact sur fluide visqueux

Florence Marcotte (INRIA Sophia),

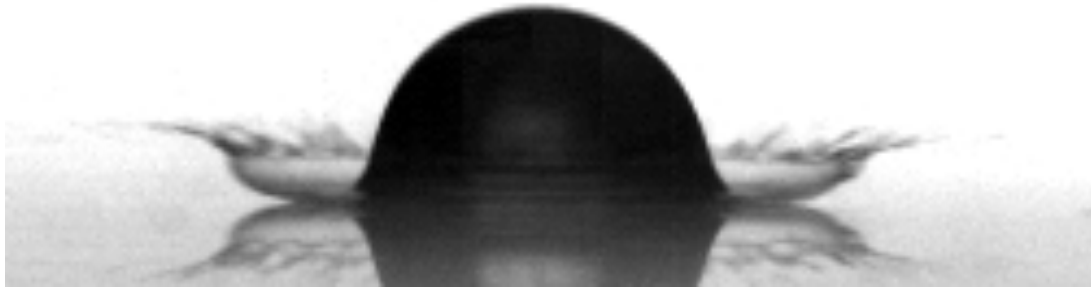
Guy-Jean Michon, Thomas Séon (Institut Jean le Rond d'Alembert, Sorbonne Université),

et Christophe Josserand (LadHyx, Ecole Polytechnique, Palaiseau)

# Splashes & corolles d'impact

$$We = \frac{\rho U^2 L}{\gamma}$$

$$Re = \frac{\rho U L}{\mu}$$

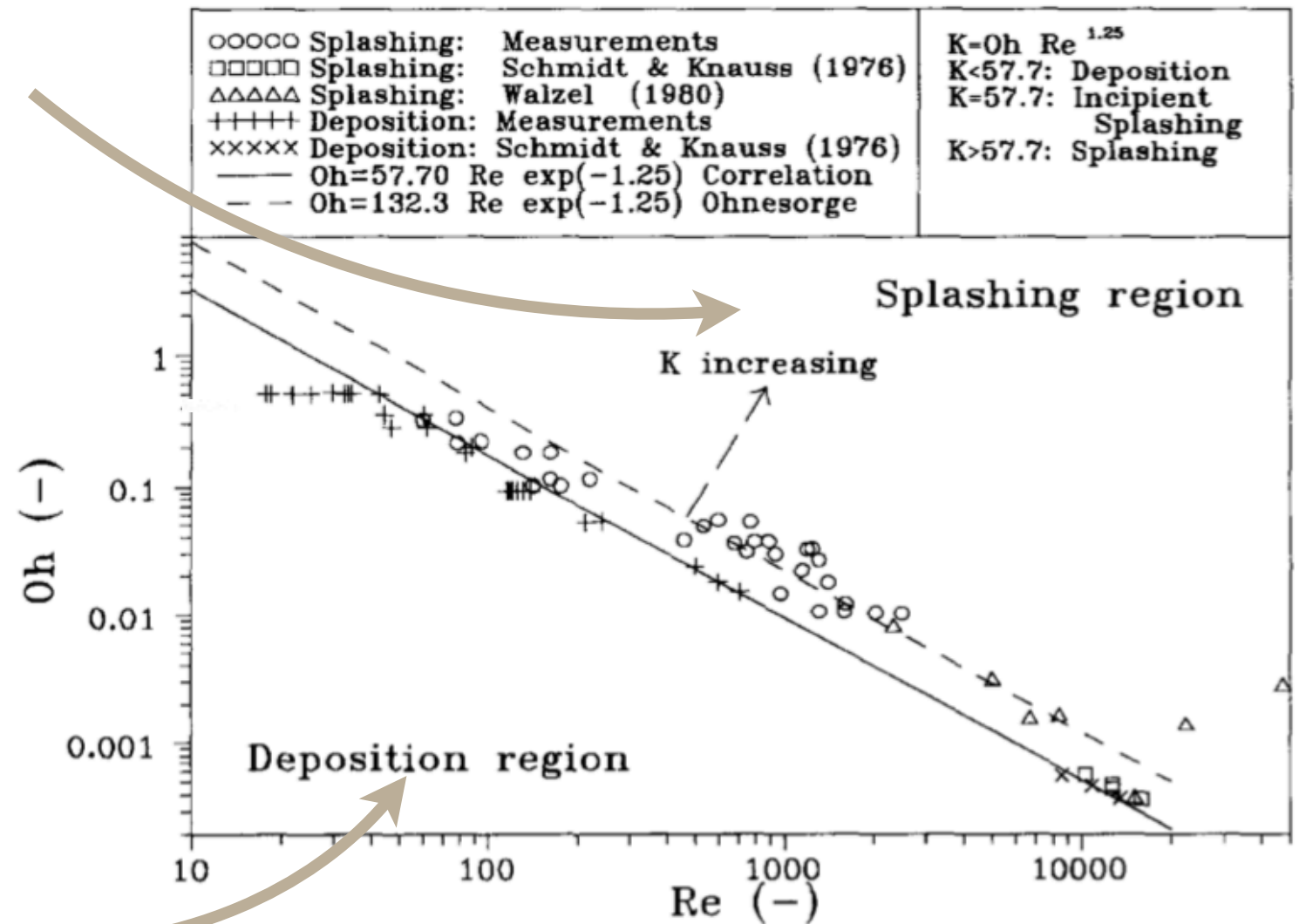
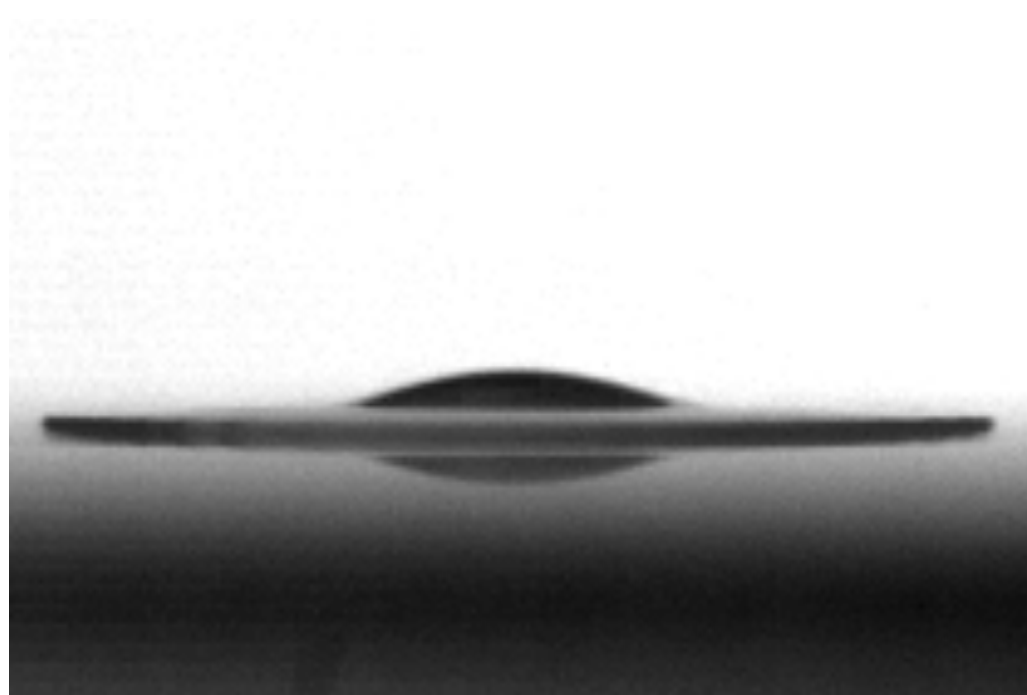
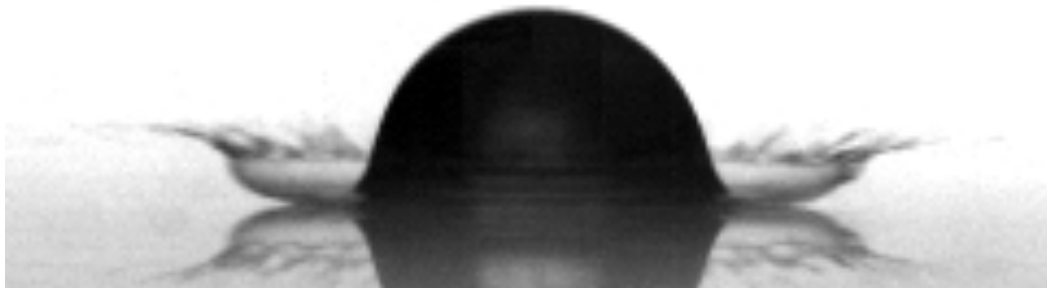


(applications en combustion, hydromorphologie, imprimerie, agronomie, santé...)

# Splashes & corolles d'impact

$$We = \frac{\rho U^2 L}{\gamma}$$

$$Re = \frac{\rho U L}{\mu}$$



Mundo, Sommerfeld, Tropea (1995)

'splashing number' :  $K = We^{1/2} Re^{1/4} > K_c$

(applications en combustion, hydromorphologie, imprimerie, agronomie, santé...)

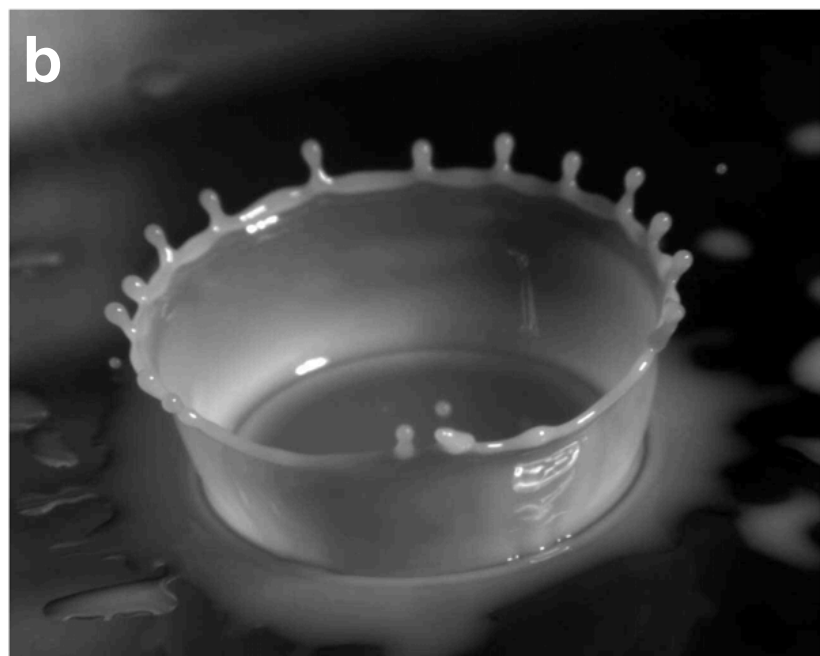
# Splashes & corolles d'impact



'crown' ou 'corona' splash

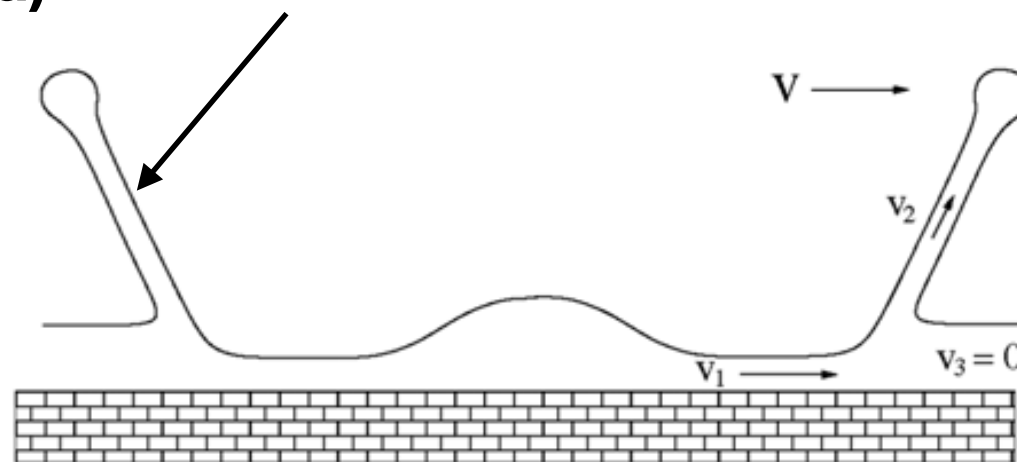
digitation + pincement (pinch-off)

(instabilités de Rayleigh-Taylor/Plateau-Rayleigh-Savart)



**d)**

nappe de Peregrine



Peregrine (1981)

(b) (c) (d) : Deegan, Brunet & Eggers (2008)

# Splashes & corolles d'impact

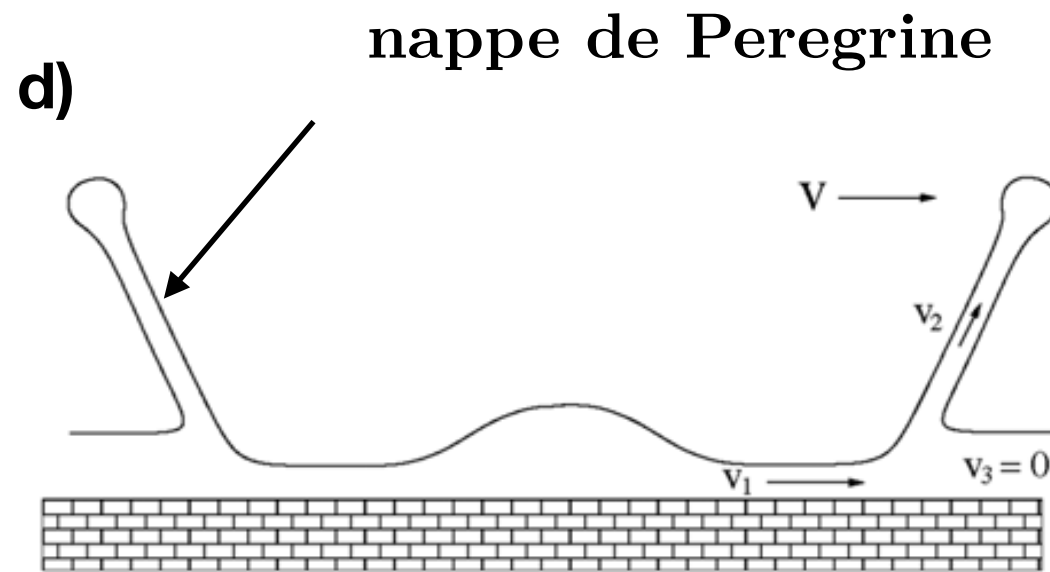


'crown' ou 'corona' splash



digitation + pincement  
(instabilités de Rayleigh) (instabilités de Rayleigh-Savart)

**Peregrine : impacts sur liquide uniquement !**

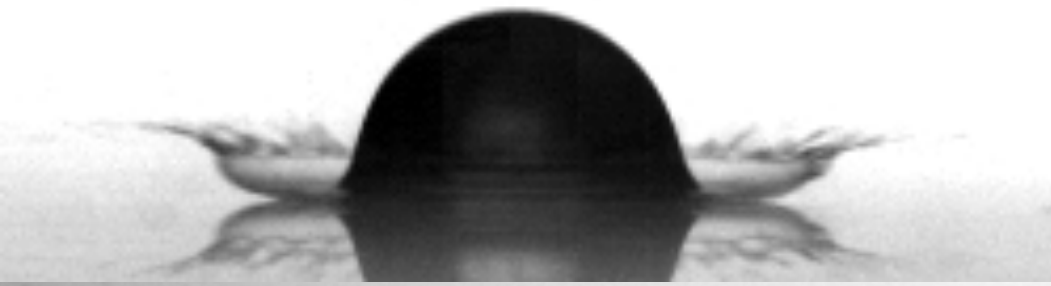


Peregrine (1981)

(b) (c) (d) : Deegan, Brunet & Eggers (2008)

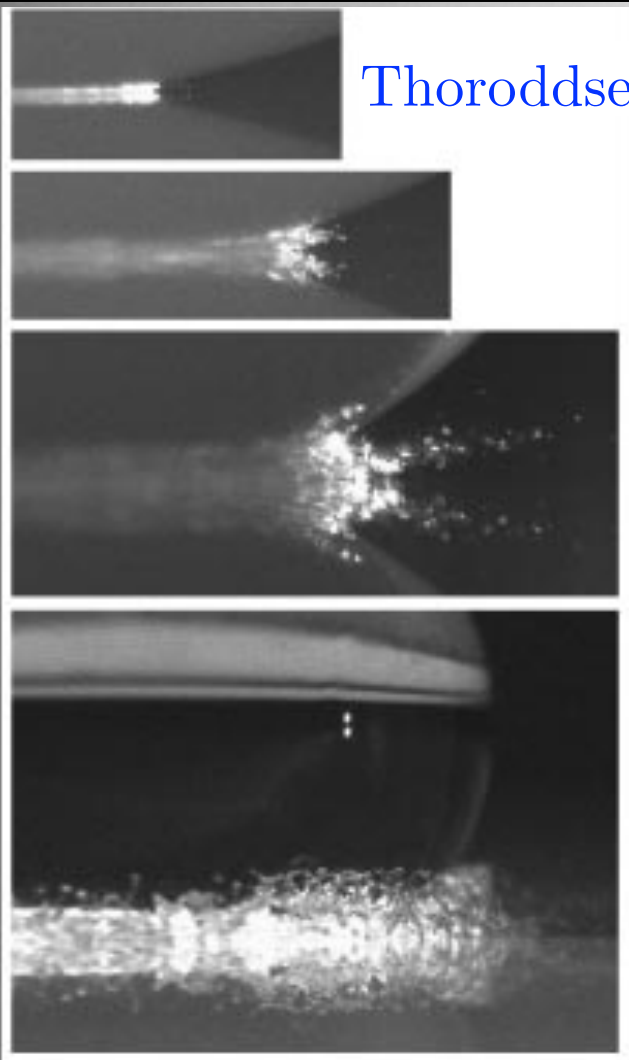
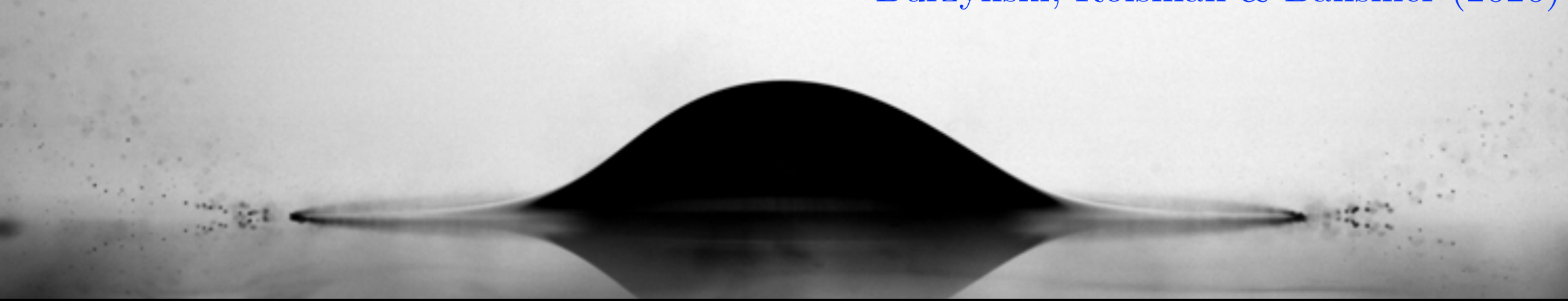


# Splashes & corolles d'impact

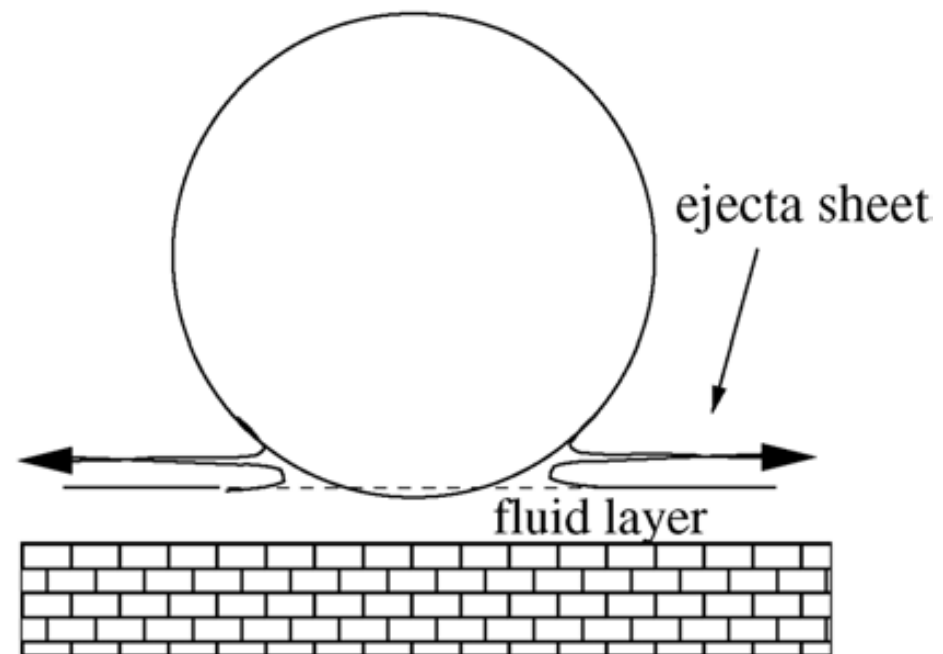


'ejecta' sheet / 'prompt' splash

Burzynski, Roisman & Bansmer (2020)

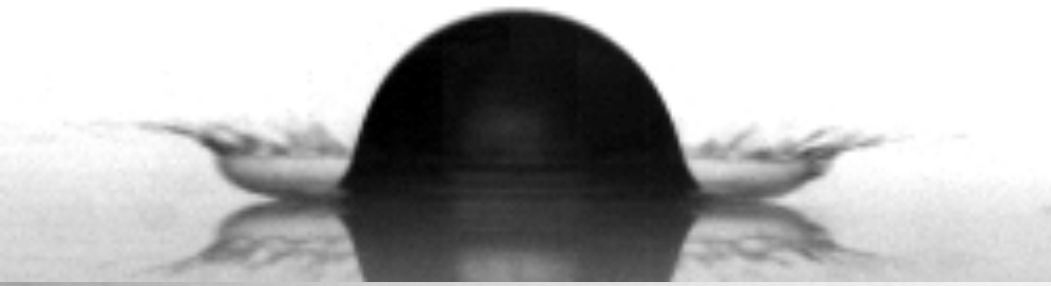


Thoroddsen (2002)



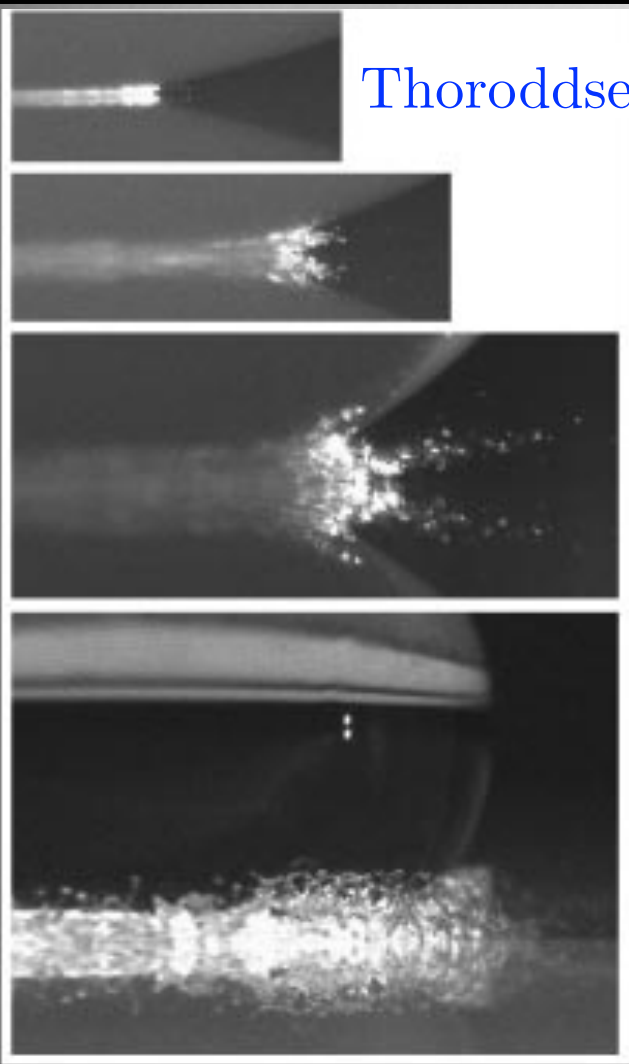
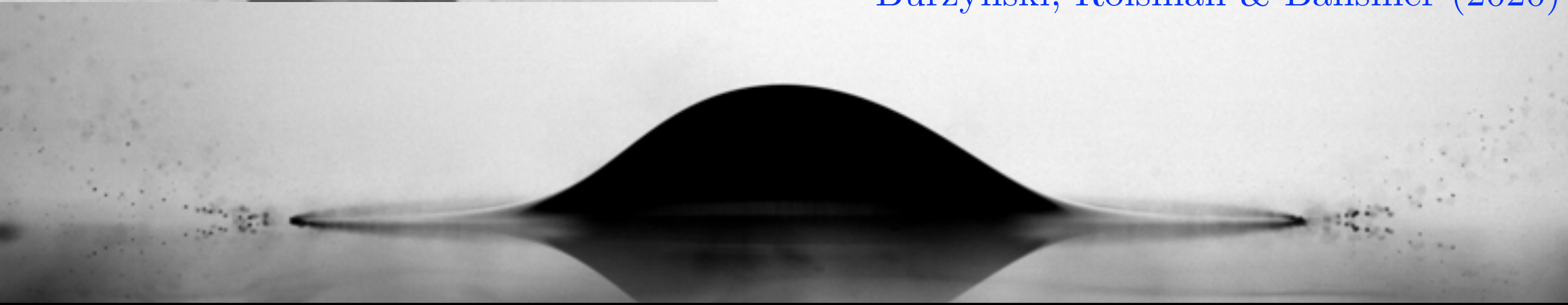
Deegan, Brunet & Eggers (2008)

# Splashes & corolles d'impact

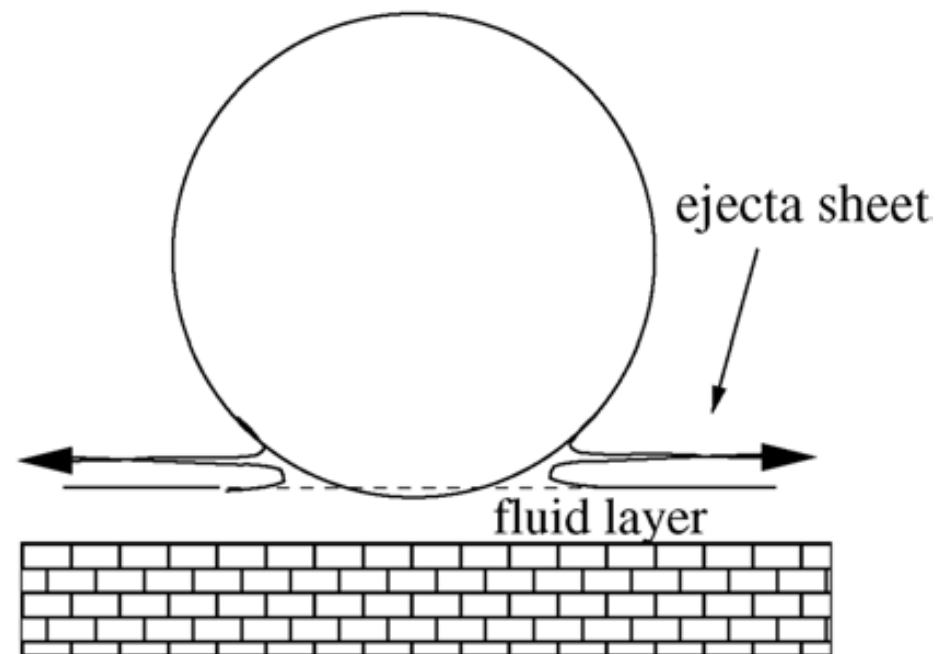


'ejecta' sheet / 'prompt' splash

Burzynski, Roisman & Bansmer (2020)



Thoroddsen (2002)

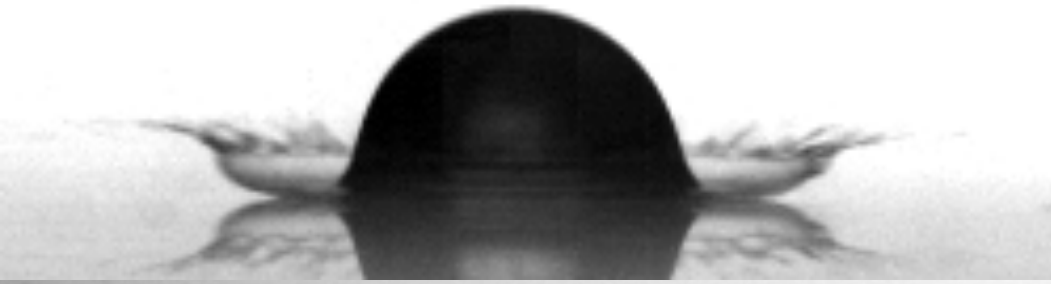


Deegan, Brunet & Eggers (2008)

**Corolle d'ejecta sensible à la pression de l'air !**

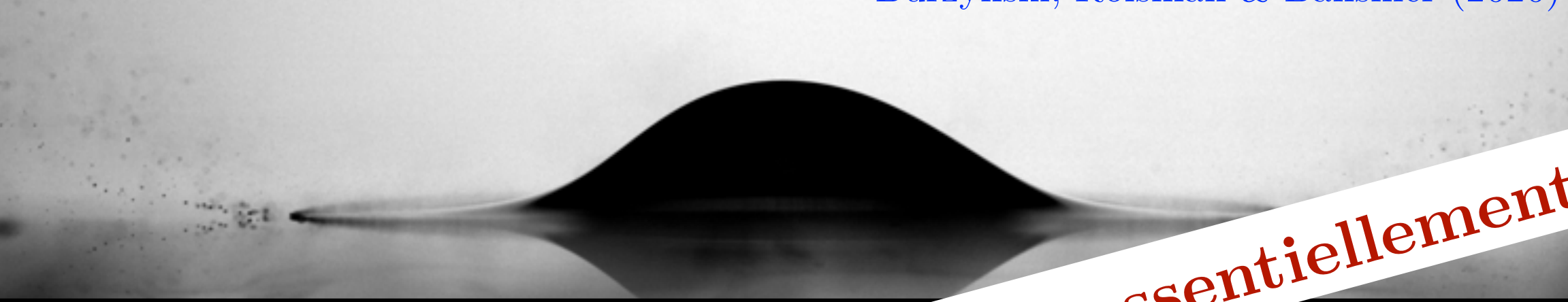
Xu, Zhang & Nagel (2005)

# Splashes & corolles d'impact



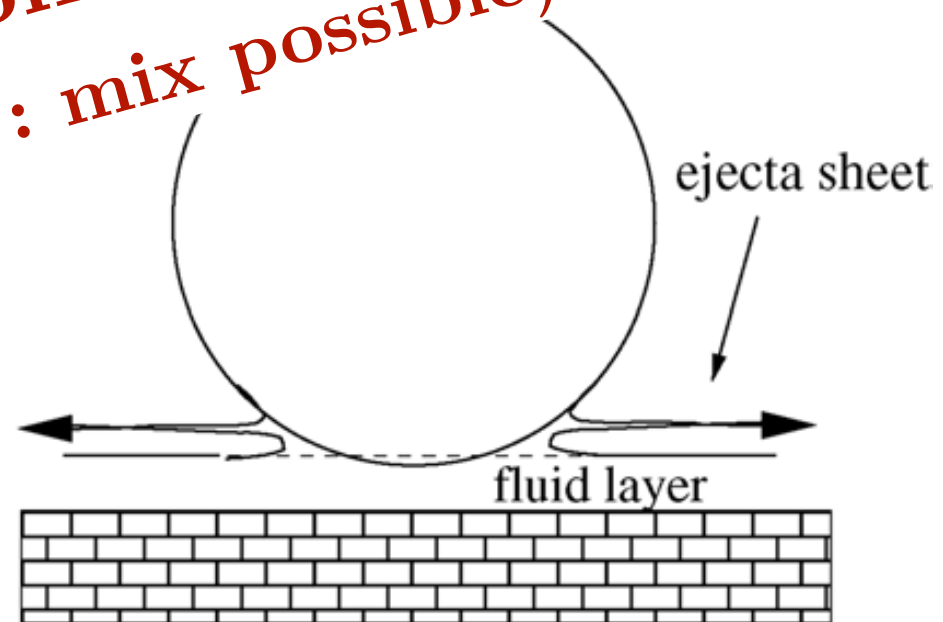
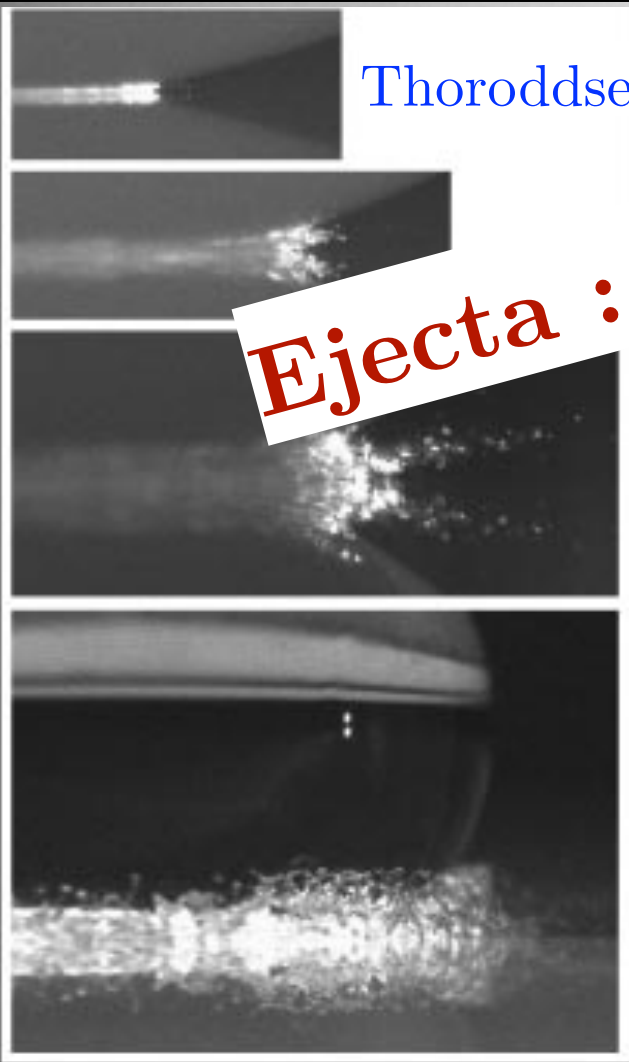
'ejecta' sheet / 'prompt' splash

Burzynski, Roisman & Bansmer (2020)



**Ejecta : impacts sur solides essentiellement !  
(films minces : mix possible)**

Thoroddsen (2002)



Deegan, Brunet & Eggers (2008)

**Corolle d'ejecta sensible à la pression de l'air !**

Xu, Zhang & Nagel (2005)



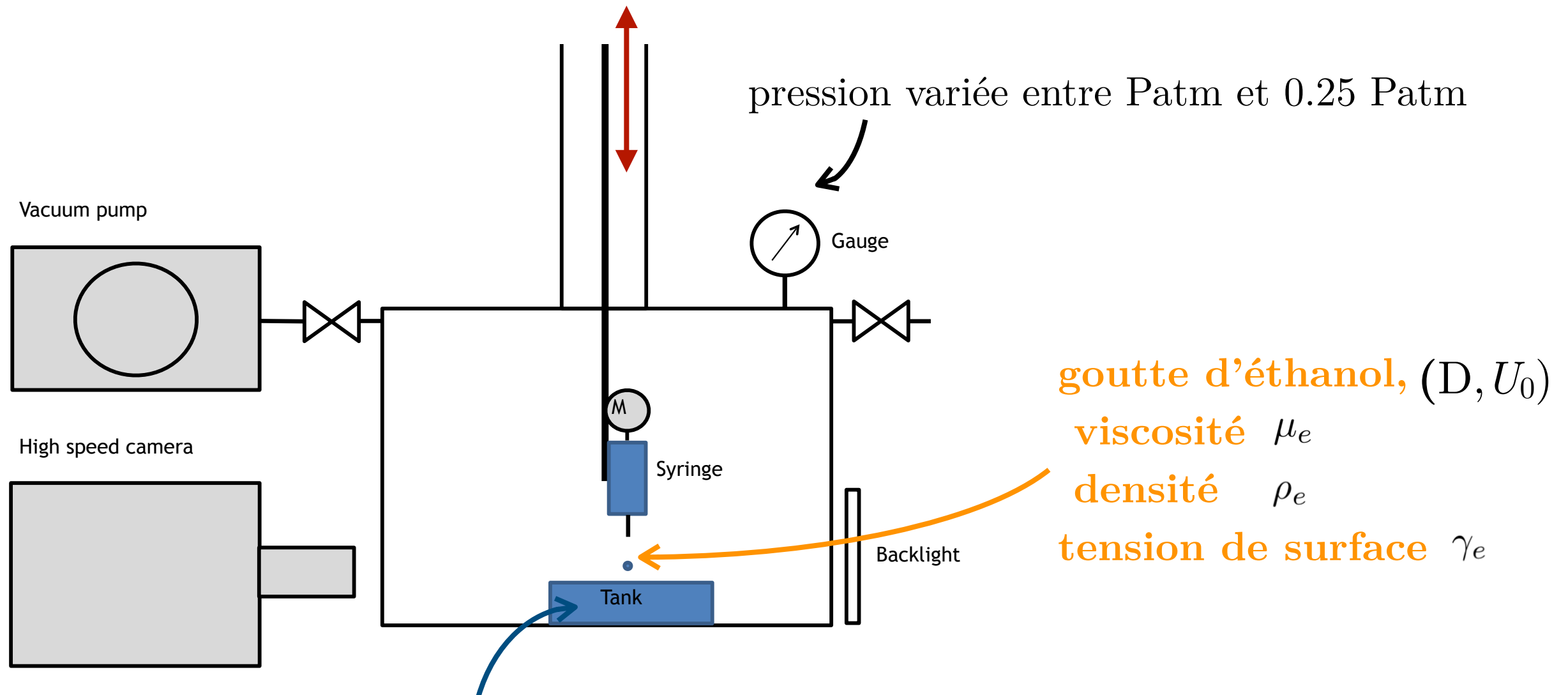
# Splashes & corolles d'impact

D'où vient le fluide éjecté ? Substrat ou projectile ?



Credit image : Wim van Hoeve, Université de Twente.

# Montage



**solution eau + glycérol**

**viscosité  $\mu_p$  :  $\mu_w \leq \mu_p \leq \mu_o$**

$$Re = \frac{\rho_e U_0 D}{\mu_e} = 5840$$

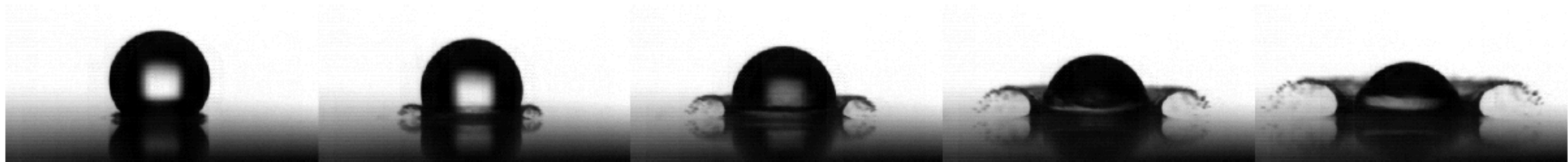
$$We = \frac{\rho_e U_0^2 D}{\gamma_e} = 1080$$

$$0.83 \leq \beta = \mu_p / \mu_e \leq 1000$$

# Résultats expérimentaux

$$\beta = 0.95$$

Viscosité = 1.14 mPa.s – Pression atmosphérique (p atm)



Ti + 3/50000 s

Ti + 6/50000 s

Ti + 9/50000 s

Ti + 12/50000 s

Ti + 15/50000 s

Viscosité = 1.14 mPa.s – Pression = p atm – 753 mbar



Ti + 3/50000 s

Ti + 6/50000 s

Ti + 9/50000 s

Ti + 12/50000 s

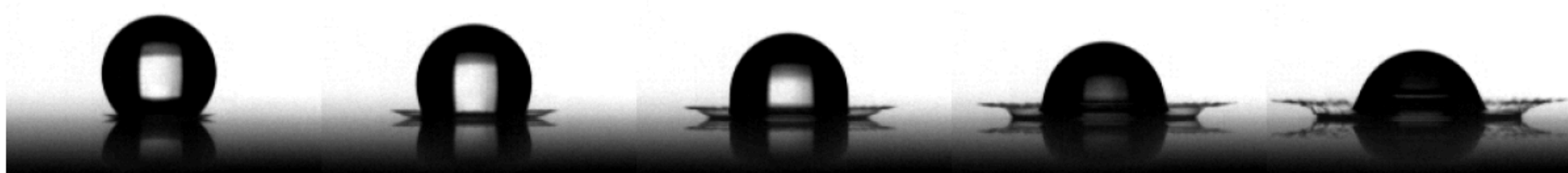
Ti + 15/50000 s

←→  
60 microsecondes

# Résultats expérimentaux

$$\beta = 812$$

Viscosité = 545 mPa.s – Pression atmosphérique (p atm)



Ti + 3/50000 s

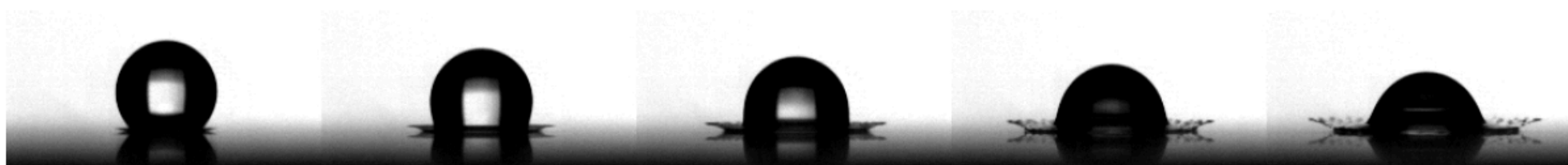
Ti + 6/50000 s

Ti + 9/50000 s

Ti + 12/50000 s

Ti + 15/50000 s

Viscosité = 545 mPa.s – Pression = p atm – 456 mbar



Ti + 3/50000 s

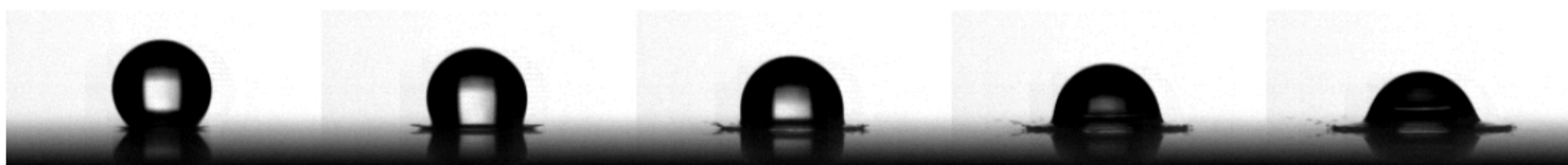
Ti + 6/50000 s

Ti + 9/50000 s

Ti + 12/50000 s

Ti + 15/50000 s

Viscosité = 545 mPa.s – Pression = p atm – 602 mbar



Ti + 3/50000 s

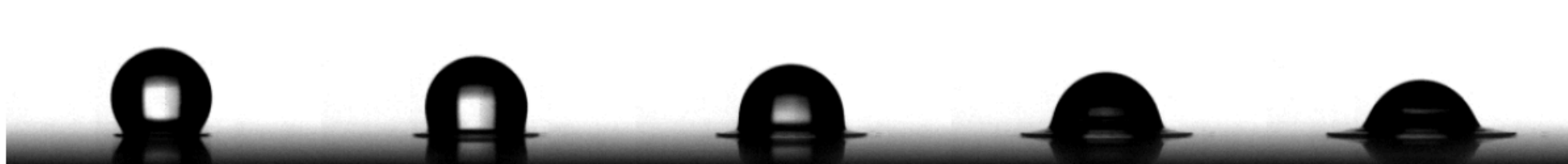
Ti + 6/50000 s

Ti + 9/50000 s

Ti + 12/50000 s

Ti + 15/50000 s

Viscosité = 545 mPa.s – Pression = p atm – 752 mbar



Ti + 3/50000 s

Ti + 6/50000 s

Ti + 9/50000 s

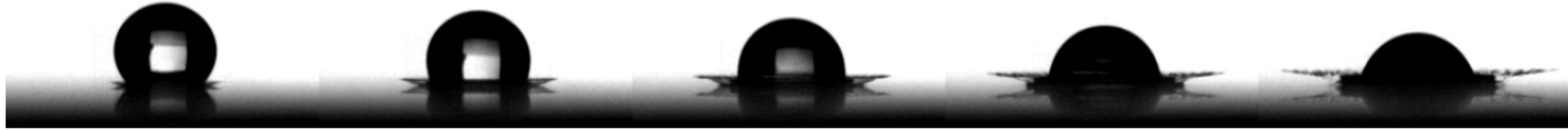
Ti + 12/50000 s

Ti + 15/50000 s

# Résultats expérimentaux

$$\beta = 94$$

Viscosité = 112.9 mPa.s – Pression atmosphérique (p atm)



Ti + 3/50000 s

Ti + 6/50000 s

Ti + 9/50000 s

Ti + 12/50000 s

Ti + 15/50000 s

Viscosité = 112.9 mPa.s – Pression = p atm – 452 mbar



Ti + 3/50000 s

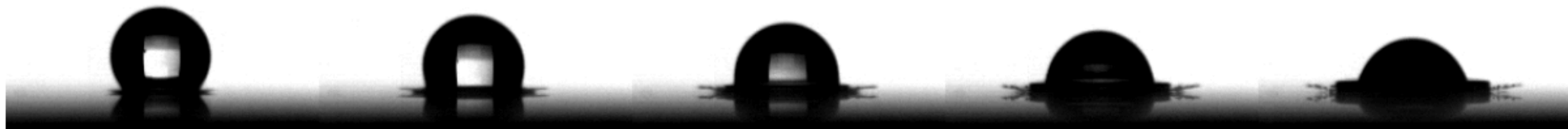
Ti + 6/50000 s

Ti + 9/50000 s

Ti + 12/50000 s

Ti + 15/50000 s

Viscosité = 112.9 mPa.s – Pression = p atm – 602 mbar



Ti + 3/50000 s

Ti + 6/50000 s

Ti + 9/50000 s

Ti + 12/50000 s

Ti + 15/50000 s

Viscosité = 112.9 mPa.s – Pression = p atm – 748 mbar



Ti + 3/50000 s

Ti + 6/50000 s

Ti + 9/50000 s

Ti + 12/50000 s

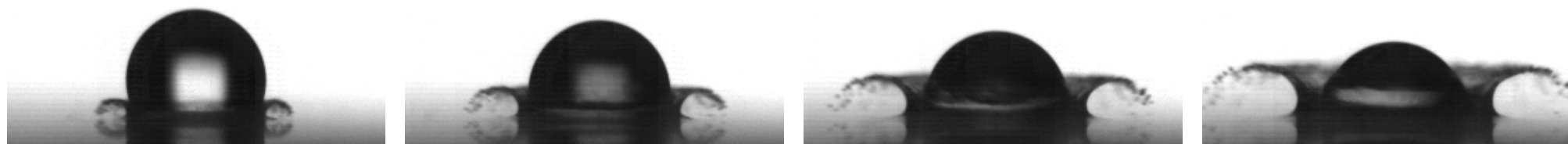
Ti + 15/50000 s



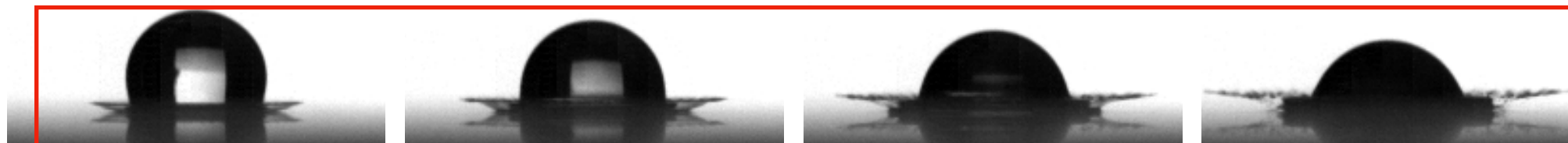
# Résultats expérimentaux

(a) atmospheric pressure

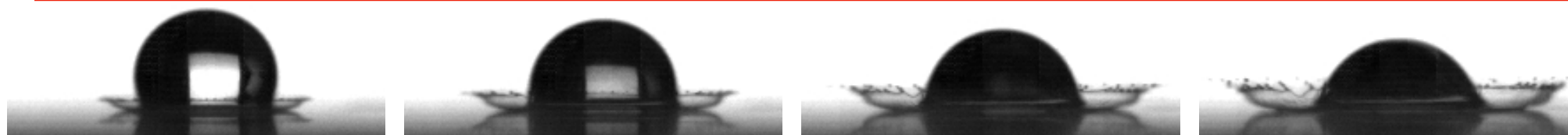
$\beta = 0.95$



$\beta = 94$

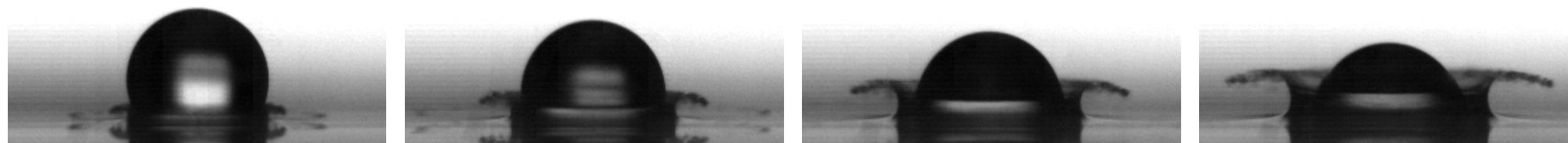


$\beta = 812$

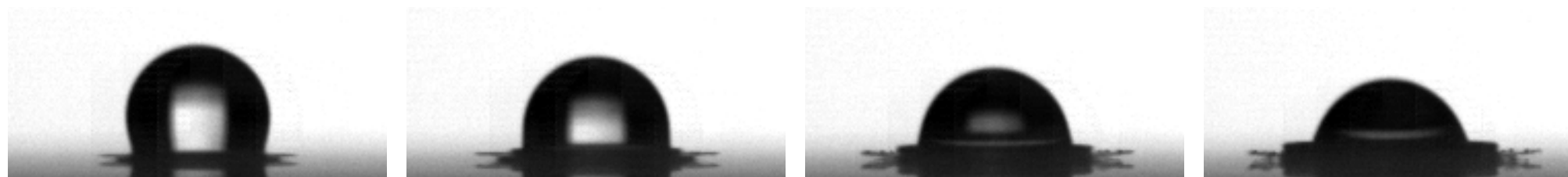


(b) low pressure

$\beta = 0.95$



$\beta = 94$



$\beta = 812$



# Modèle numérique

*Gerris*



Popinet JCP (2003, 2009)

<http://gfs.sourceforge.net>

$$\rho(\partial_t \mathbf{u} + \mathbf{u} \cdot \nabla \mathbf{u}) = -\nabla p + \nabla \cdot (2\mu \mathbf{D}) + \gamma \kappa \delta_s \mathbf{n}$$

$$\partial_t \chi_i + \nabla \cdot (\chi_i \mathbf{u}) = 0$$

$$\nabla \cdot \mathbf{u} = 0$$

avec :

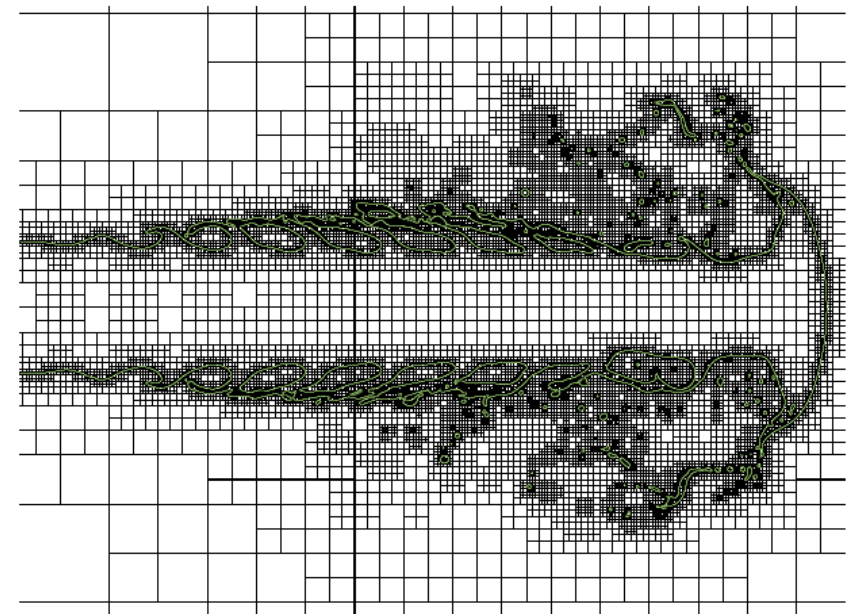
$$\mathbf{D} = (\nabla \mathbf{u} + \nabla \mathbf{u}^T) / 2$$

$$\rho(\mathbf{x}, t) = \rho_p \chi_1 + \rho_g (1 - \chi_1)$$

$$\mu(\mathbf{x}, t) = \rho_p \chi_1 (1 - \chi_2) + \mu_e \chi_1 \chi_2 + \mu_g (1 - \chi_1)$$

> discrétisation en volumes finis  
traitement de l'interface par méthode  
Volume-of-Fluid

> raffinement adaptatif du maillage  
en dynamique  
(structure quadtree/octree)



> solveur de Poisson multigrille...

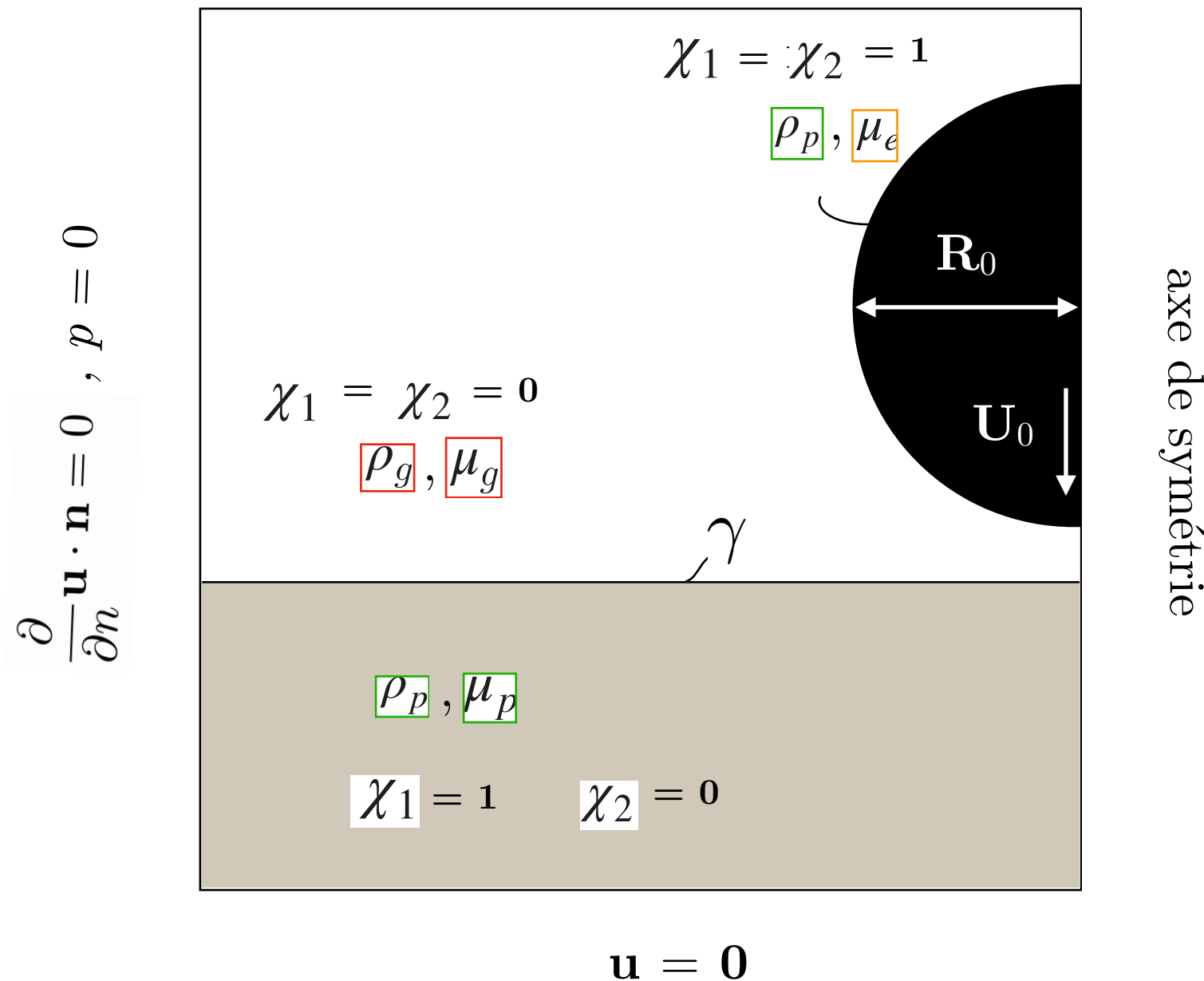
+ Comparaisons DNS (Gerris) et expériences d'impacts : e.g. [Thoraval et al. \(2012\)](#)

# Modèle numérique

$$\rho(\mathbf{x}, t) = \rho_p \chi_1 + \rho_g (1 - \chi_1)$$

$$\mu(\mathbf{x}, t) = \rho_p \chi_1 (1 - \chi_2) + \mu_e \chi_1 \chi_2 + \mu_g (1 - \chi_1)$$

$$\frac{\partial}{\partial n} \mathbf{u} \cdot \mathbf{n} = 0, \quad p = 0$$

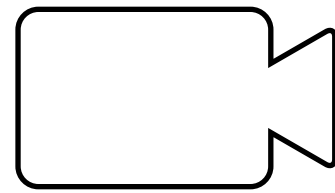


$$We = 440$$

$$Re = 6000$$

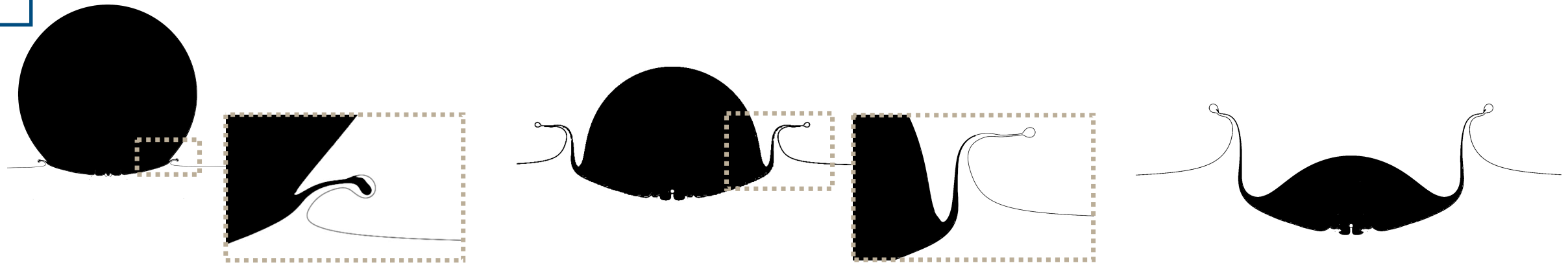
(ex: goutte d'eau diam.  
1,1mm  
impact à 5.3m/s)

# Résultats numériques

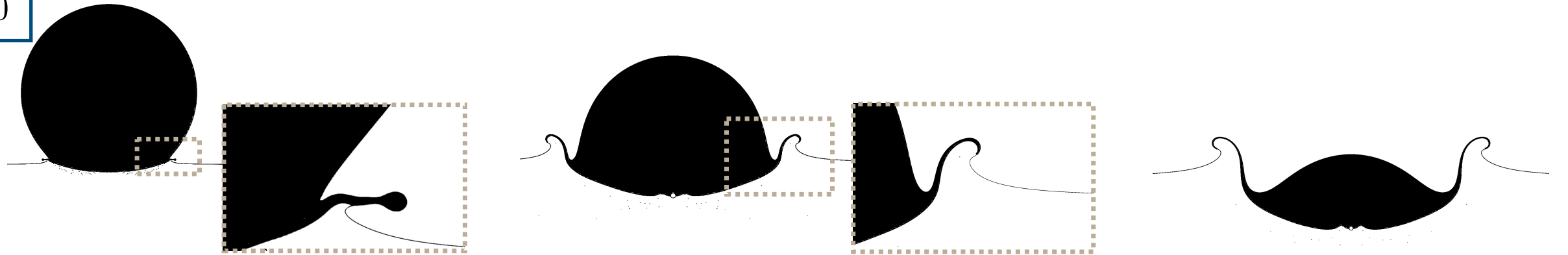


# Résultats numériques

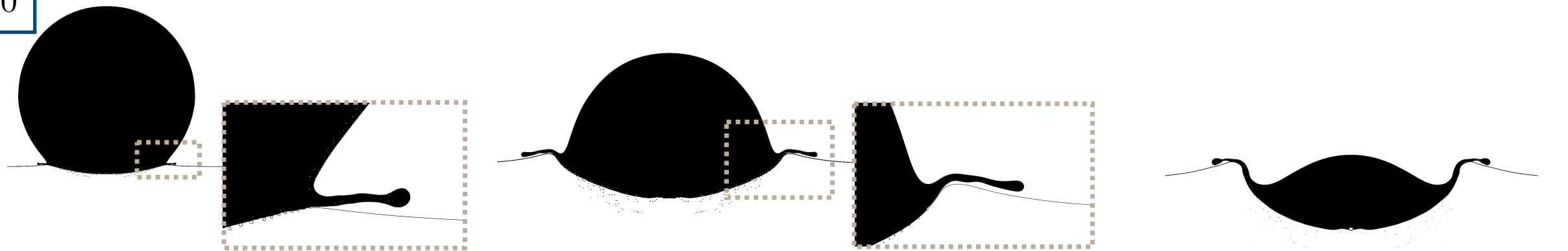
$\beta = 5$



$\beta = 50$



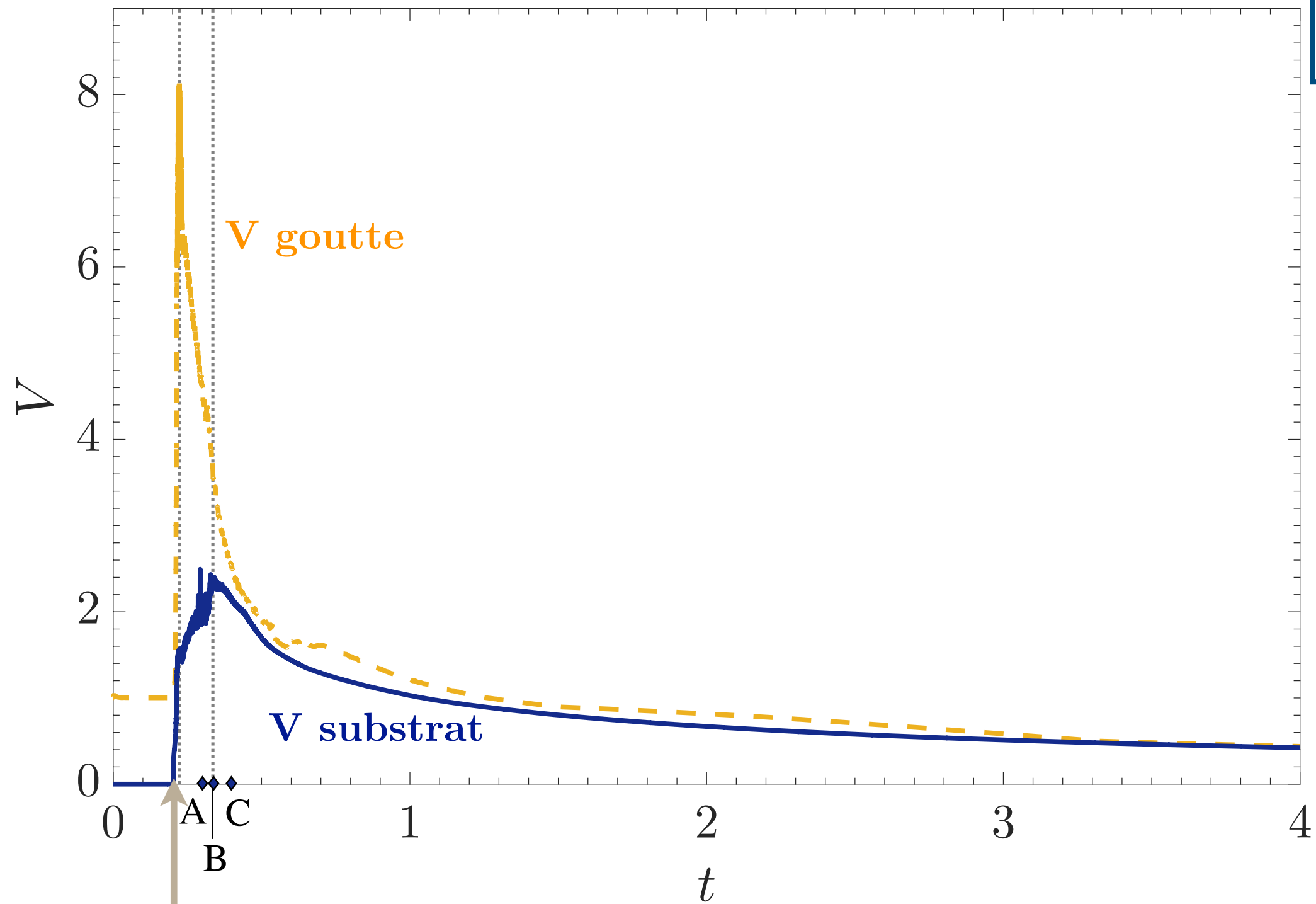
$\beta = 100$





# Résultats numériques

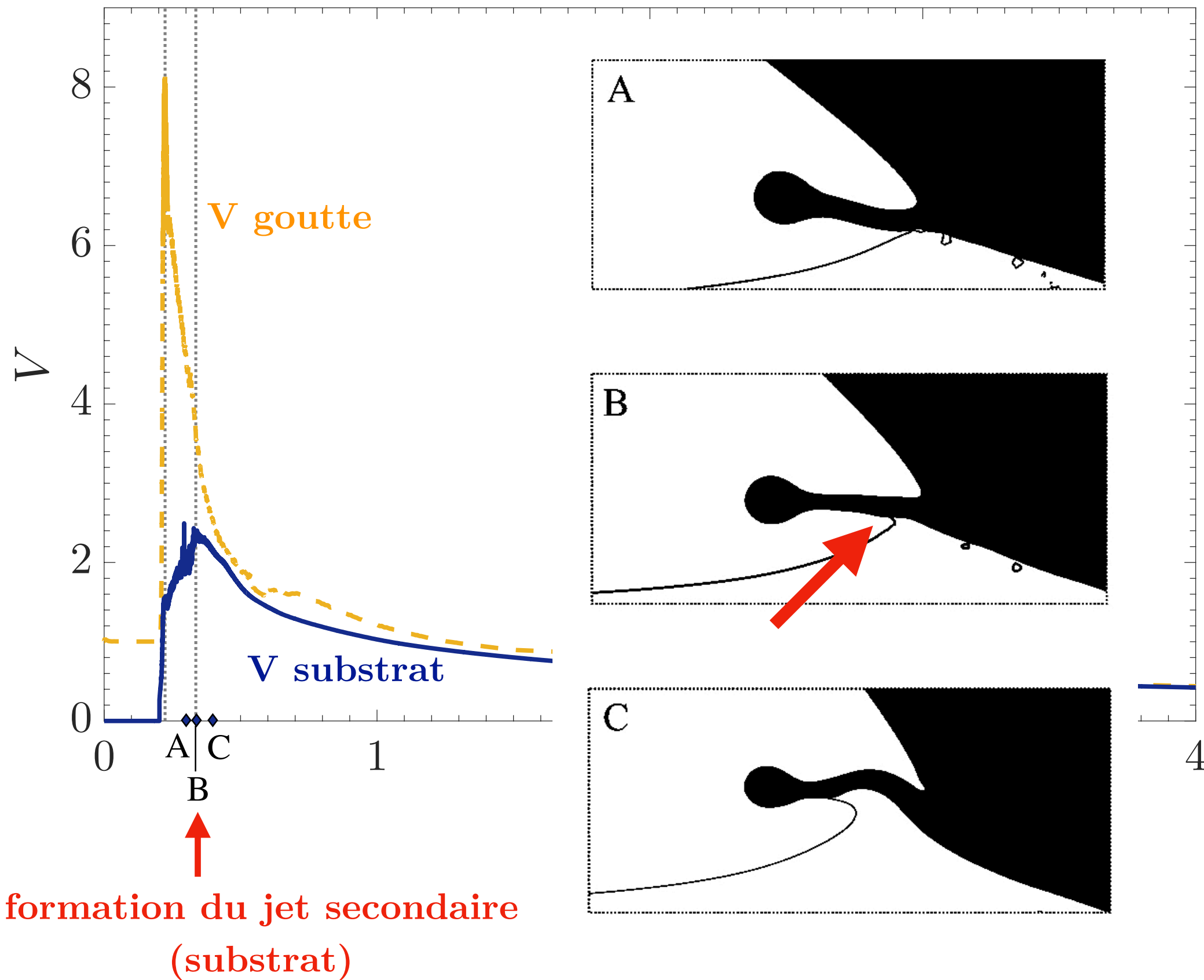
$$\beta = 50$$



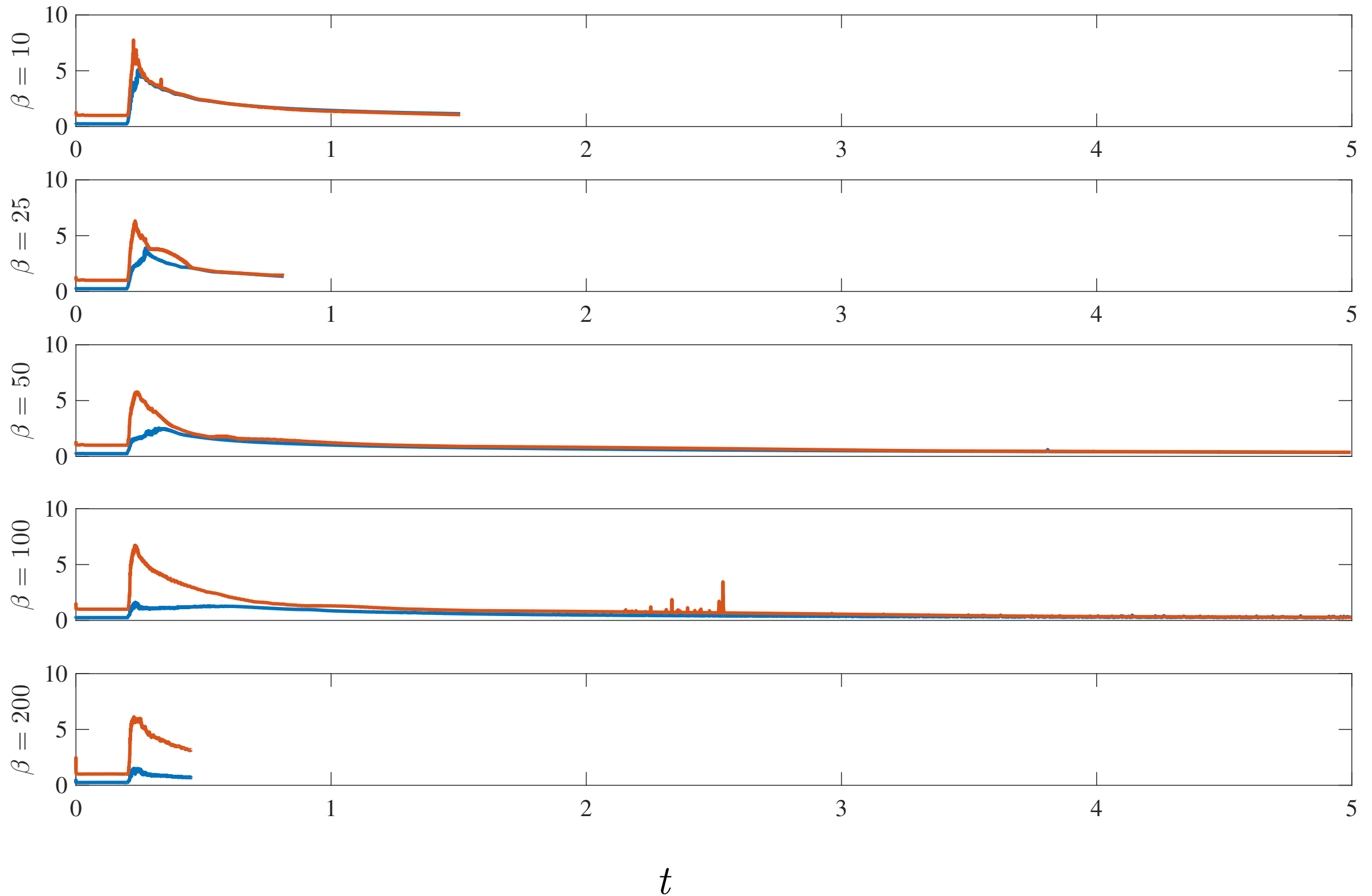
impact à  $t=0.2$

# Résultats numériques

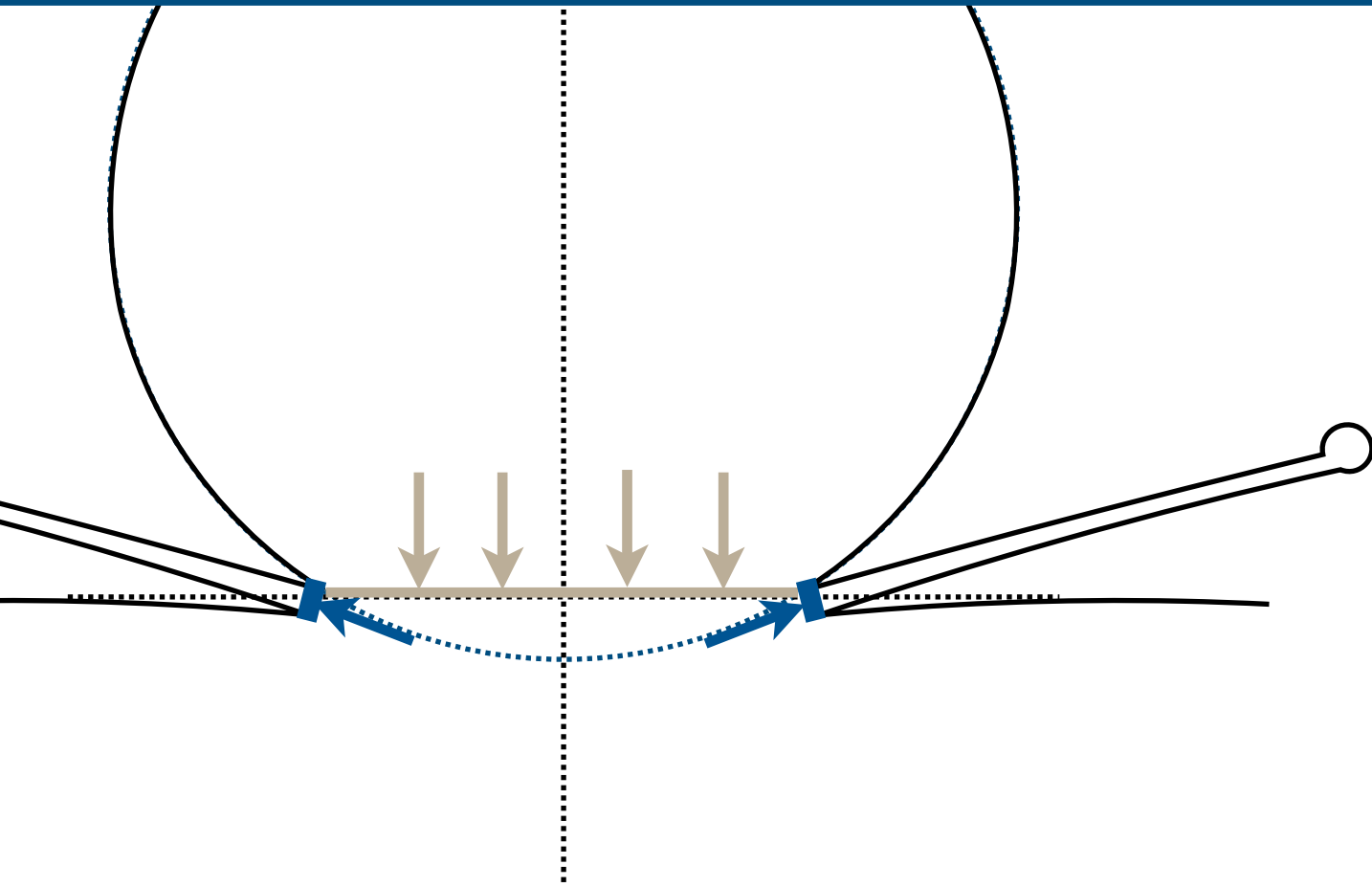
$$\beta = 50$$



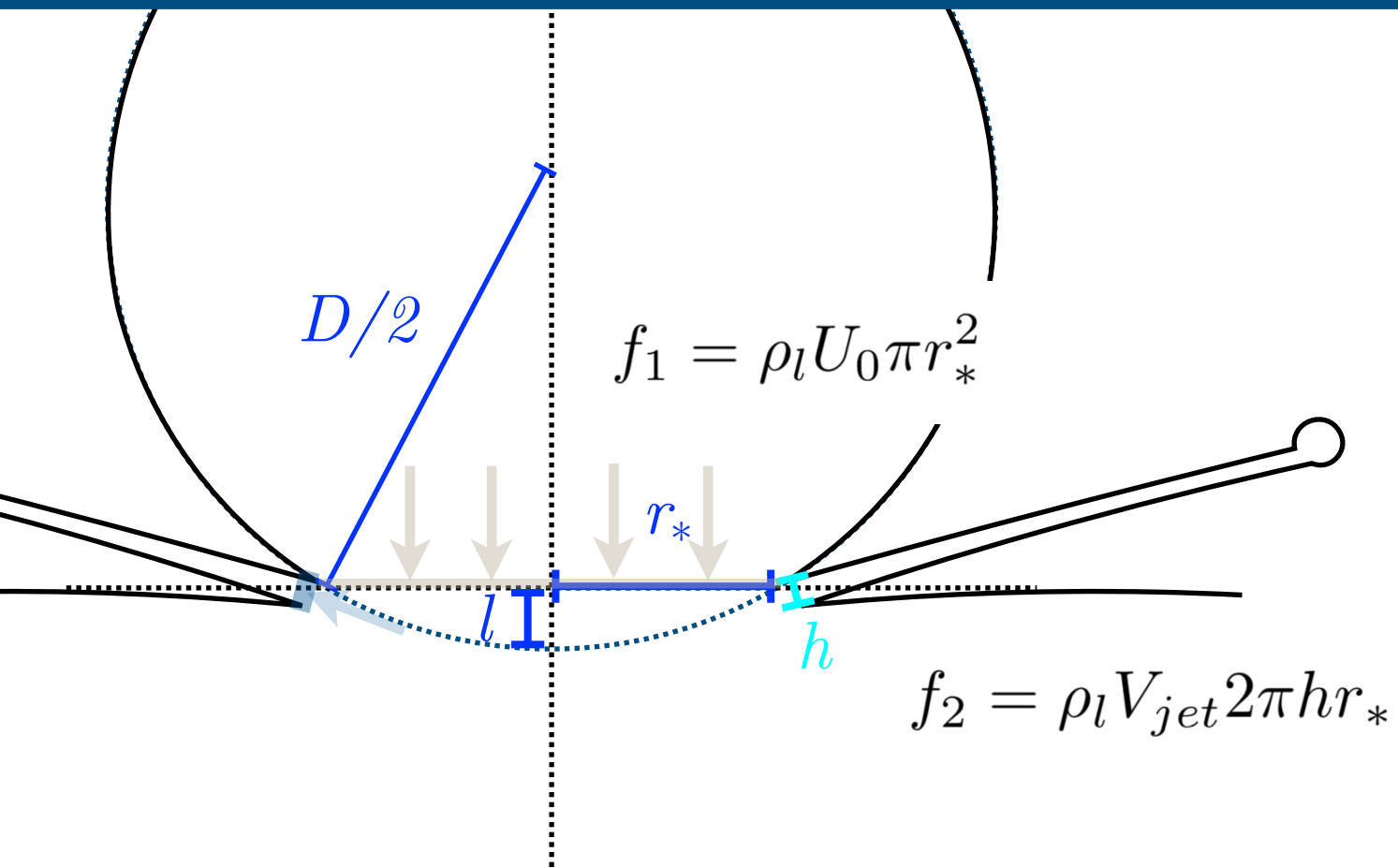
# Résultats numériques



# Résultats numériques



# Résultats numériques

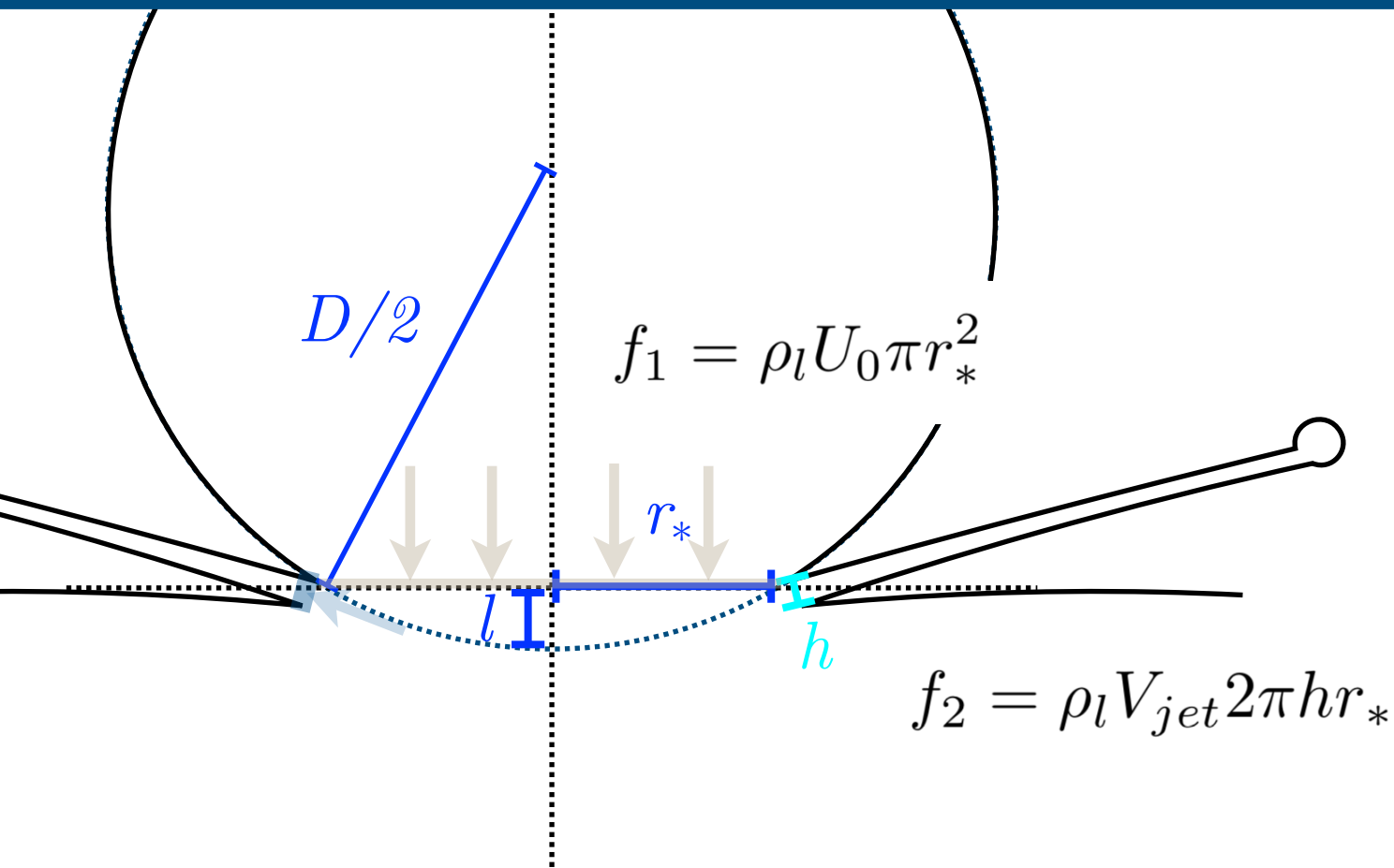


$$l \sim U_0 t$$

$$r_* \sim \sqrt{DU_0 t}$$



# Résultats numériques



$$l \sim U_0 t$$

$$r_* \sim \sqrt{DU_0 t}$$

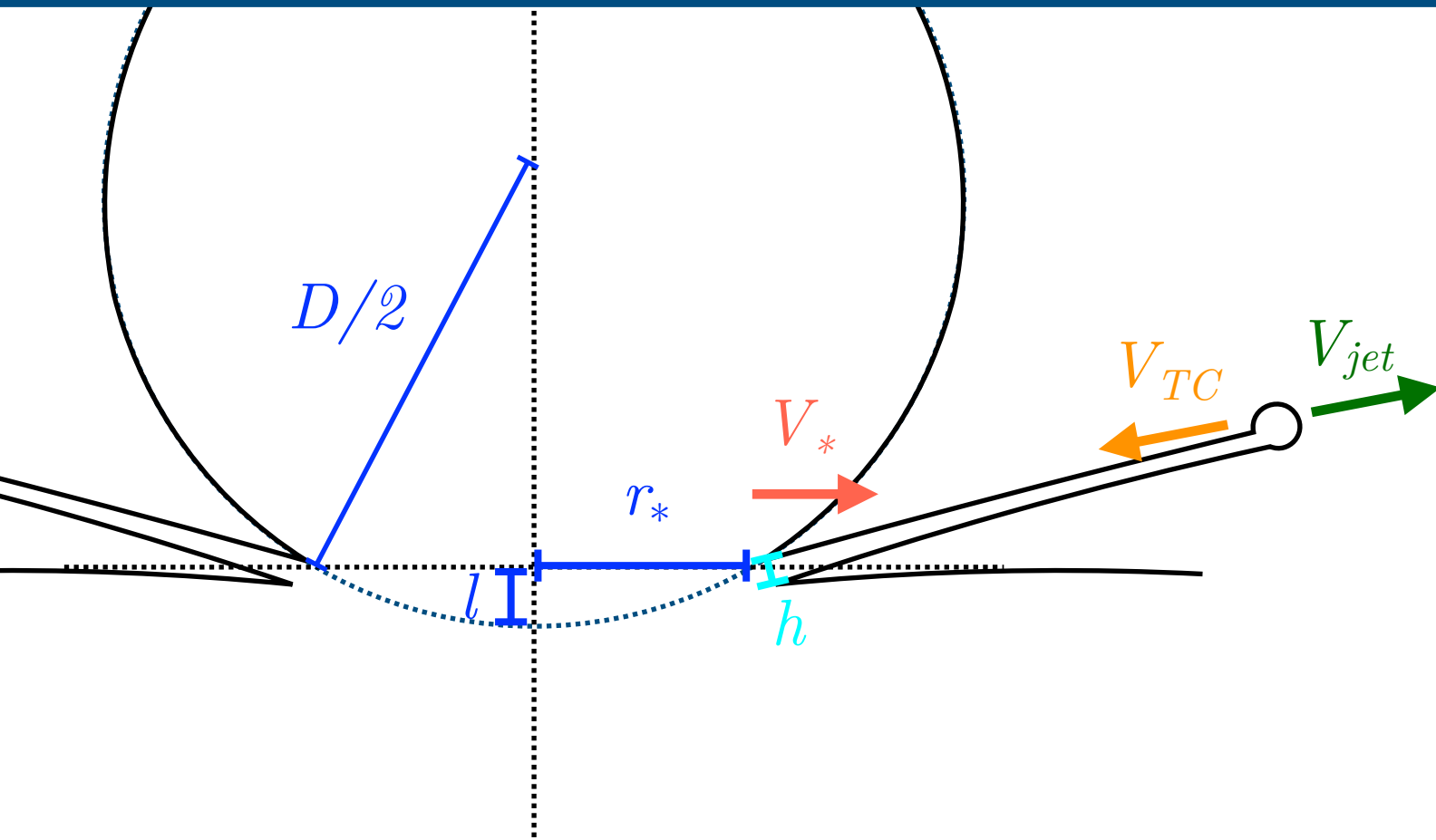
Josserand & Zaleski (2003) :

$$h \sim \sqrt{\nu t}$$



$$V_{jet} = U_0 \sqrt{Re}$$

# Résultats numériques



$$l \sim U_0 t$$

$$r_* \sim \sqrt{DU_0 t}$$

Josserand & Zaleski (2003) :

$$h \sim \sqrt{\nu t}$$



$$V_{jet} = U_0 \sqrt{Re}$$

comparaison avec vitesse de Taylor-Culick :

$$V_{TC} \sim \left( \frac{2\gamma}{\rho_l h} \right)^{1/2}$$

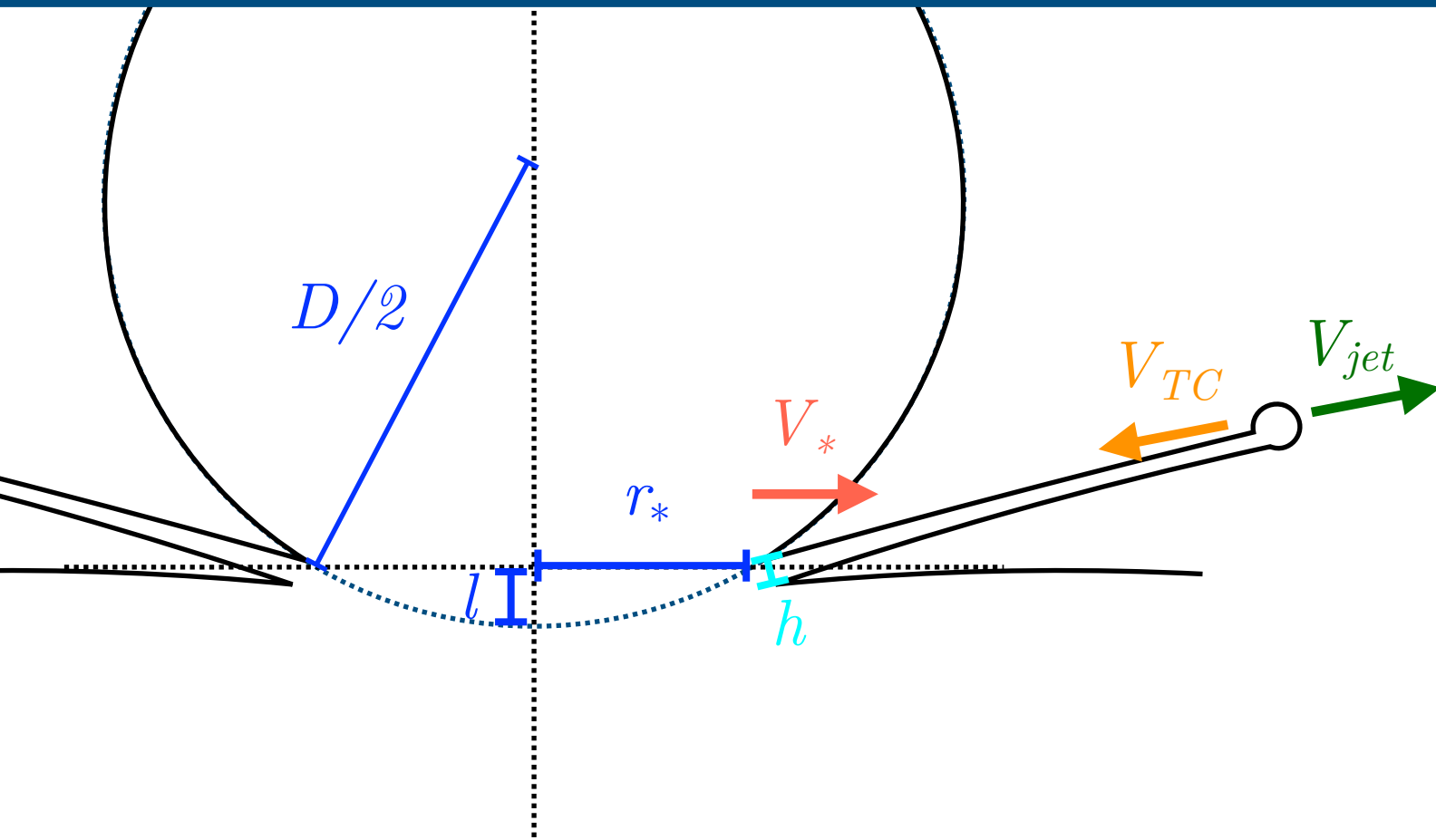
et vitesse d'étalement géométrique :

$$V_* = \frac{dr_*}{dt} = \frac{1}{2} \sqrt{\frac{DU_0}{t}}$$

—> critère de formation du jet :

$$t > \max(t_{TC}, t_*) = \max\left( \frac{2}{We^2 Re} \frac{D}{U_0}, \frac{1}{Re} \frac{D}{U_0} \right)$$

# Résultats numériques



$$l \sim U_0 t$$

$$r_* \sim \sqrt{DU_0 t}$$

Josserand & Zaleski (2003) :

$$h \sim \sqrt{\nu t}$$



$$V_{jet} = U_0 \sqrt{Re}$$

comparaison avec vitesse de Taylor-Culick :  $V_{TC} \sim \left(\frac{2\gamma}{\rho_l h}\right)^{1/2}$

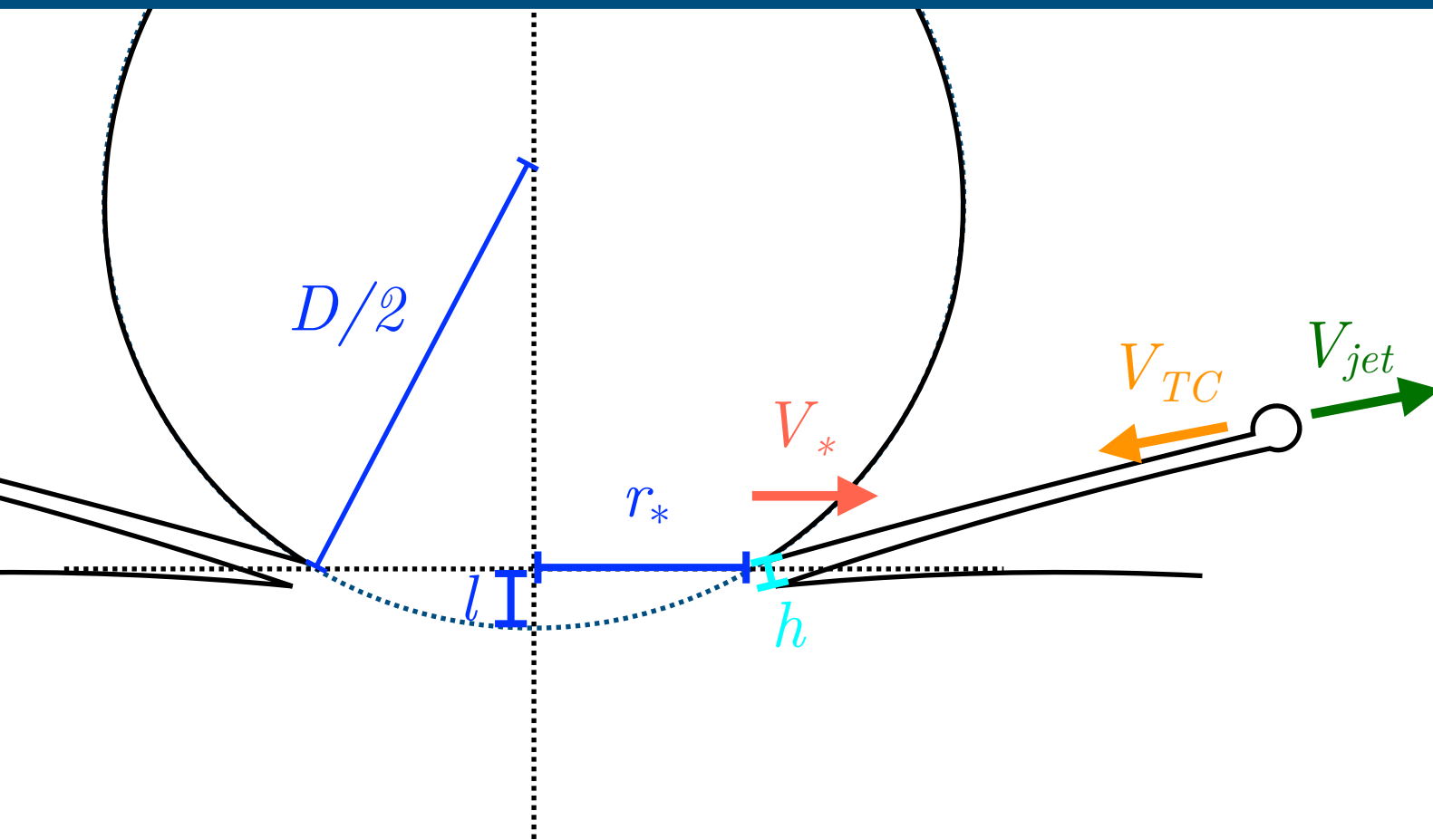
et vitesse d'étalement géométrique :

$$V_* = \frac{dr_*}{dt} = \frac{1}{2} \sqrt{\frac{DU_0}{t}}$$

—> critère de formation du jet :

$$t > \max(t_{TC}, t_*) = \max\left(\frac{2}{We^2 Re} \frac{D}{U_0}, \frac{1}{Re} \frac{D}{U_0}\right) \quad (We, Re \gg 1)$$

# Résultats numériques



$$l \sim U_0 t$$

$$r_* \sim \sqrt{DU_0 t}$$

Josserand & Zaleski (2003) :

$$h \sim \sqrt{\nu t}$$



$$V_{jet} = U_0 \sqrt{Re}$$

comparaison avec vitesse de Taylor-Culick :  $V_{TC} \sim \left(\frac{2\gamma}{\rho_l h}\right)^{1/2}$

et vitesse d'étalement géométrique :

$$V_* = \frac{dr_*}{dt} = \frac{1}{2} \sqrt{\frac{DU_0}{t}}$$

—> critère de formation du jet :

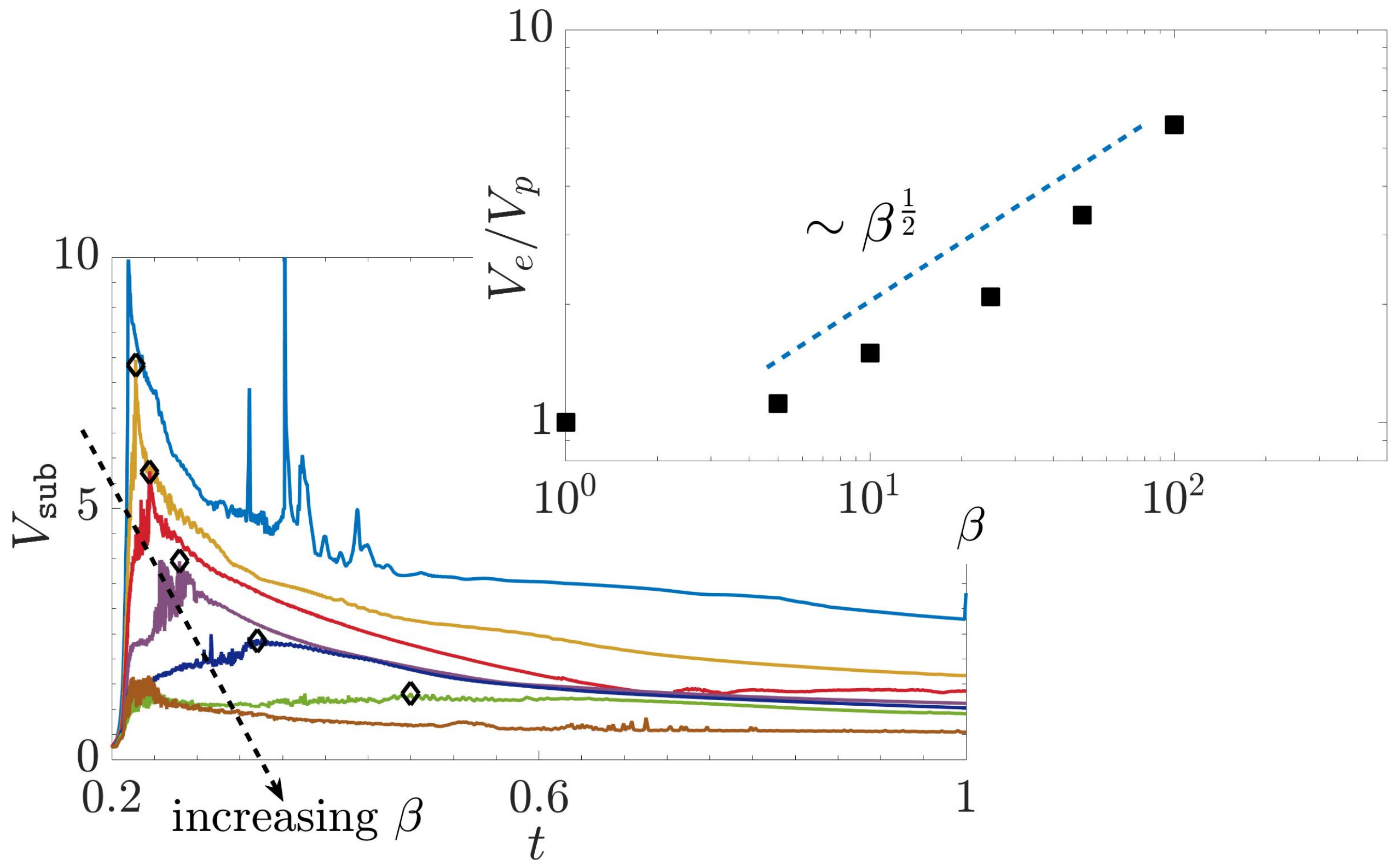
$$t > \max(t_{TC}, t_*) = \max\left(\frac{2}{We^2 Re} \frac{D}{U_0}, \frac{1}{Re} \frac{D}{U_0}\right)$$

Ici 2 jets (goutte/substrat) :

$$V_e/V_p = \sqrt{Re_e/Re_p} = \sqrt{\mu_p/\mu_e} = \sqrt{\beta}$$

(à temps courts !!)

# Résultats numériques





# Conclusion

- Structure double de la corolle d'impact : deux jets/nappes (ejecta et Peregrine ?)
  - Transition continue d'un régime de splash-sur-solide à splash-sur-liquide (séparation progressive des échelles de temps)
- Rôle de la pression sur corolles mixtes : déstabilisation à temps court de l'ejecta favorise la déstabilisation du bord d'attaque de la Peregrine ?
  - Critères de splash : rôle de la viscosité du substrat ...